

Zygmunt GARCZARZYK

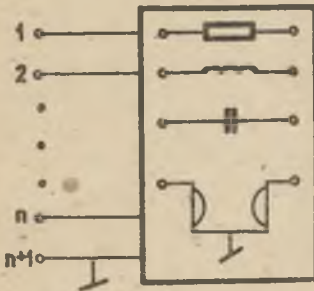
Instytut Podstawowych Problemów  
Elektrotechniki i Energoelektroniki  
Politechniki Śląskiej

MINIMALIZACJA WRAŻLIWOŚCI I ROZRZUTU  
WARTOŚCI PARAMETRÓW ELEMENTÓW OBWODU

**Streszczenie.** W artykule przedstawiono algorytm oparty na koncepcji układów ciągle równoważnych i na programowaniu liniowym, pozwalający minimalizować jednocześnie wskaźnik wrażliwości i wskaźnik rozrzutu parametrów elementów obwodu.

1. Wstęp

Teoria sformułowana przez Caenera [1] i Howitta [2] daje sposób generowania równoważnych obwodów RLC przez transformację macierzy węzłowej. Teorię tę można rozszerzyć na obwody pasywne, nieodwracalne o strukturze podanej na rys. 1 [3].



Rys. 1

Obwód RLC Żyrator o  $N$  węzłach niezależnych ma macierz węzłową  $Y_1$ , którą można zapisać następująco:

$$Y_1 = pC_1 + G_1 + \frac{1}{p}\Gamma_1 + g_1 \quad (1)$$

gdzie:  $p$  jest częstotliwością zespoloną,  $C_1, G_1, \Gamma_1, g_1$  są stałymi ( $N \times N$ ) macierzami parametrów elementów -  $C_1$  dla pojemności,  $G_1$  dla konduktancji,  $\Gamma_1$  dla odwrotności indukcyjności i  $g_1$  dla konduktancji żyracji zyratorów idealnych. Macierze  $C_1, G_1, \Gamma_1$  są symetryczne, natomiast macierz  $g_1$  jest skośnie symetryczna.

Zgodnie z teorią obwodów równoważnych macierz  $Y_1$  obwodu pierwotnego może być transformowana w inną macierz  $Y_2$  nowego obwodu - równoważnego, który ma tę samą macierz admitancyjną, odniesioną do wrót utworzonych przez węzły  $1, 2, \dots, n$  i węzeł odniesienia  $n+1$  ( $n < N$ ).

Transformacja ma postać:

$$Y_2 = A^t Y_1 A, \quad (2)$$

gdzie  $A$  jest macierzą kwadratową rzeczywistą, nieosobliwą ( $N \times N$ ) o postaci:

$$A = \begin{bmatrix} U & O \\ P & R \end{bmatrix} \quad (3)$$

gdzie

- $U$  - macierz jednostkowa ( $n \times n$ ),
- $O$  - macierz zerowa,
- $P, R$  - dowolne podmacierze.

Wychodząc z zależności (2) Schoeffler wykazał [4], że rozwiązanie równania różniczkowego

$$\left. \begin{aligned} \frac{dY(x)}{dx} &= B^t Y(x) + Y(x) B \\ Y(0) &= Y_1 \end{aligned} \right\} \quad (4)$$

także reprezentuje obwód równoważny.

Macierz  $B$  ( $N \times N$ ) w równaniu (4) ma postać:

$$B = \begin{bmatrix} 0 & 0 & \dots & 0 \\ \cdot & \cdot & \dots & \cdot \\ b_1 & b_2 & \dots & b_N \\ \cdot & \cdot & \dots & \cdot \\ b_{\mu-N} & \cdot & \dots & b_{\mu} \end{bmatrix}^n \quad (5)$$

$$|b_1| < 1, \quad i = 1, 2, \dots, \mu, \quad \mu = N(N-n)$$

Można wykazać [3], że jeśli

$$\det A > 0, \quad (6)$$

to można znaleźć macierz  $B$  taką, że transformacja (2) i rozwiązanie równania (4) reprezentują ten sam zbiór obwodów równoważnych. Jest to warunek konieczny, gdy  $n = N-1$  i warunek wystarczający, gdy  $n < N-1$ .

Z zależności (1) wynika, że równanie (4) słuszne jest dla każdego typu elementu obwodu. Określając wektor  $E(x) = [e_1 e_2 \dots e_\nu]^t$  dla każdego rodzaju elementu obwodu, można uprościć zależność (4). Wektory:  $E_G(x)$  dla konduktancji,  $E_C(x)$  dla pojemności oraz  $E_V(x)$  dla indukcyjności mają

wymiar  $\mathcal{V} = \frac{1}{2} N(N+1)$ . Wektor  $E_g(x)$  dla konduktancji żyrcji ea wymiar  $\mathcal{V} = \frac{1}{2} N(N-1)$ .

Można wtedy napisać równanie:

$$\left. \begin{aligned} \frac{dE(x)}{dx} &= ME(x) \\ E(0) &= E_1 \end{aligned} \right\} \quad (7)$$

gdzie  $E_1$  jest odpowiednim wektorem parametrów (G,  $\Gamma$ , C) obwodu pierwotnego. Macierz M jest rzeczywista ( $\mathcal{V} \times \mathcal{V}$ ), a jej elementy są liniowo zależne od elementów macierzy B, tj.

$$m_{ij} = \sum_{k=1}^{\mathcal{V}} \alpha_k b_k \quad (8)$$

W przypadku wektora  $E_g(x)$  w równaniu (7) występuje inna macierz  $K(\mathcal{V} \times \mathcal{V})$  o tej samej własności.

Równanie (7) reprezentuje obwód zwany ciągle równoważnym [4].

Dokładne rozwiązanie równania (7) ma postać

$$E(x) = \exp(Mx)E_1 = \left[ U + \sum_{k=1}^{\infty} \frac{1}{k!} (Mx)^k \right] E_1 \quad (9)$$

W praktyce rozwiązanie uzyskuje się, uwzględniając tylko pewną liczbę wyrazów szeregu (9).

Zaletą tej metody jest także to, że pozwala ona obliczać prosto wrażliwości dowolnej funkcji H(p) (transmitancji, immitancji) generowanego obwodu.

Dla rozważanych obwodów spełnione jest bowiem równanie:

$$\left. \begin{aligned} \frac{dQ(x)}{dx} &= -M^t Q(x) \\ Q(0) &= Q_1 \end{aligned} \right\} \quad (10)$$

gdzie  $Q(x) = [q_1, q_2, \dots, q_{\mathcal{V}}]^t$  oznacza wektor wrażliwości półwzględnych funkcji H względem parametrów elementów określonego typu

$$q_1 = \frac{1}{H} \cdot \frac{\partial H}{\partial \theta_1} \quad (11)$$

$Q_1$  jest odpowiednim wektorem wrażliwości obwodu pierwotnego.

Rozwiązanie równania (7) pozwala poprzez odpowiedni dobór macierzy  $M$ , na kształtowanie własności obwodów równoważnych według przyjętych kryteriów jakości. Kryteriami tymi mogą być: minimalna wrażliwość funkcji  $H$  obwodu na zmiany wielu parametrów oraz minimalny rozrzut wartości parametrów elementów.

## 2. Wskaźniki jakości

Jako wskaźnik wieloparametrowej wrażliwości funkcji obwodu  $H(p)$ , przy określonej częstotliwości, przyjmuje się wielkość

$$\phi = \frac{1}{2} \sum_{i=1}^n k_i |s_i|^2, \quad (12)$$

gdzie  $k_i$  oznacza współczynnik wagowy, natomiast

$$s_i = \frac{e_i}{H} \cdot \frac{\partial H}{\partial e_i} = e_i q_i \quad (13)$$

względne wrażliwość funkcji  $H$  na zmiany parametru  $e_i$ . Tak określony wskaźnik stanowi miarę rozrzutu modułu względnych zmian funkcji  $H$ , powodowanych przypadkowymi zmianami wartości nominalnych parametrów elementu obwodu [5], a w przypadku obwodów rezystancyjnych określa także poziom szumów cieplnych [6].

Chcąc minimalizować różnice między wartościami parametrów elementów pewnej grupy elementów obwodu, przyjmujemy jako wskaźnik wielkość

$$\Theta = \frac{1}{2} \sum_{i=1}^n (e_i - e_0)^2, \quad (14)$$

gdzie  $e_0$  oznacza średnią arytmetyczną wartości parametrów wybranej grupy elementów lub zadaną wartość, wokół której winny się one skupiać.

Z poprzednich uwag wynika, że odpowiedni wybór zmiennej  $x$  i współrzędnych wektora

$$b = [b_1 b_2 \dots b_n] \quad (15)$$

winien zapewnić, że rozwiązanie równania (7) reprezentuje obwód fizycznie realizowalny o minimalnych wskaźnikach  $\phi$  i  $\Theta$ . Uwzględniając jedynie część liniową rozwinięcia w szereg Taylora w punkcie  $x = 0$  dla para-



netrów elementów  $a_1(x, b)$  oraz wskaźników  $\dot{\phi}(x, b)$  i  $\Theta(x, b)$  obwodu równoważnego, otrzymamy [3]:

$$\begin{aligned} a_1(x, b) &= a_1(0) + \dot{a}_1(b)x, \\ \dot{\phi}(x, b) &= \dot{\phi}(0) + \ddot{\phi}(b)x, \\ \Theta(x, b) &= \Theta(0) + \dot{\Theta}(b)x, \end{aligned} \quad (16)$$

gdzie  $a_1(0)$ ,  $\dot{\phi}(0)$ ,  $\Theta(0)$  odnoszą się do obwodu pierwotnego, natomiast  $(\cdot)$  oznacza pochodną względem  $x$ . Z równania (7) wynika, że

$$\dot{a}_1(b) = \sum_{j=1}^{\nu} a_{1j} \dot{a}_1(0) = \sum_{j=1}^{\mu} f_{1j}(E_1) b_j, \quad (17)$$

$i = 1, 2, \dots, \nu(\gamma)$ ,

gdzie  $f_{1j}(E_1)$  - kombinacje liniowe parametrów elementów obwodu pierwotnego.

Zauważmy również, iż

$$\dot{\Theta}(b) = \sum_{j=1}^{\nu} [a_j(0) - a_0] [\dot{a}_j(b) - \dot{a}_0] = \sum_{j=1}^{\mu} \dot{\phi}_j(E_1) b_j, \quad (18)$$

gdzie  $\dot{\phi}_j(E_1)$  - funkcje parametrów elementów obwodu pierwotnego. Na podstawie równań (7) i (10) można wykazać [4], że:

$$\ddot{\phi}(b) = \sum_{j=1}^{\nu} (a_j \dot{a}_j | q_j|^2 + a_j^2 (\dot{q}_j q_j^* + q_j \dot{q}_j^*) = \sum_{j=1}^{\mu} \psi_j(E_1, Q_1) b_j, \quad (19)$$

gdzie  $\psi_j(E_1, Q_1)$  - funkcje parametrów elementów i wrażliwości półwzględnych obwodu pierwotnego.

Jak widać, pochodne rozważanych wskaźników i parametrów wszystkich elementów obwodu są formami liniowymi współrzędnych wektora  $b$ . Na przykład, dla czwórnika ( $n=3$ ,  $M=3$ ) pokazanego na rys. 2, otrzymujemy:

$$a) \quad \Theta(b) = \dot{v}_1 b_1 + \dot{v}_2 b_2 + \dot{v}_3 b_3,$$

gdzie:

$$\dot{v}_1(E_1) = (a_3 - a_5)(a_1 + a_3 + a_5 - a_0) + a_6(a_3 + a_4 - a_2 - a_5),$$

$$\dot{v}_2(E_1) = (a_3 - a_6)(a_2 + a_3 + a_6 - a_0) + a_5(a_3 + a_4 - a_1 - a_6),$$

$$\psi_3(E_1) = (e_3 - e_0)(2e_3 + e_5 + e_6) + e_5(e_5 - e_1) + e_6(e_6 - e_2),$$

$$e_1 = G_1 \quad \text{lub} \quad e_1 = C_1 \quad \text{lub} \quad e_1 = \Gamma_1$$

lub dla zyratorów

$$\psi_1(E_1) = -(g_1 - g_0)g_3,$$

$$\psi_2(E_1) = (g_1 - g_0)g_2,$$

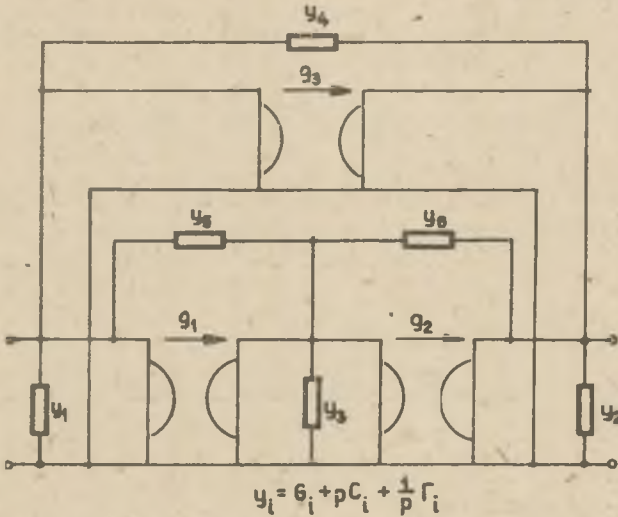
$$\psi_3(E_1) = (g_2 - g_0)g_2 + (g_3 - g_0)g_3.$$

$$b) \quad \Phi(b) = \varphi_1 b_1 + \varphi_2 b_2 + \varphi_3 b_3,$$

gdzie:

$$\begin{aligned} \varphi_1(E_1, Q_1) = & e_1 |q_1|^2 (e_3 - e_5) - e_2 |q_2|^2 e_6 + e_3 |q_3|^2 (e_3 + e_5 + e_6) + \\ & + e_3^2 (\operatorname{Re}\{q_5 - q_1 - q_3\} \operatorname{Re}\{q_3\} + \operatorname{Im}\{q_5 - q_1 - q_3\} \operatorname{Im}\{q_3\}) + \\ & + e_4 |q_4|^2 e_6 - e_5 |q_5|^2 (e_3 + e_5 + e_6) + e_5^2 (\operatorname{Re}\{q_1 + q_5 - q_3\} \operatorname{Re}\{q_5\} + \\ & + \operatorname{Im}\{q_1 + q_5 - q_3\} \operatorname{Im}\{q_5\}) + e_6^2 (\operatorname{Re}\{q_2 + q_5 - q_3 - q_4\} \operatorname{Re}\{q_6\} + \\ & + \operatorname{Im}\{q_2 + q_5 - q_3 - q_4\} \operatorname{Im}\{q_6\}) - g_1 g_3 |q_{g_1}|^2 + \\ & + g_3^2 (\operatorname{Re}\{q_{g_1}\} \operatorname{Re}\{q_{g_3}\} + \operatorname{Im}\{q_{g_1}\} \operatorname{Im}\{q_{g_3}\}), \end{aligned}$$

$$\begin{aligned} \varphi_2(E_1, Q_1) = & -e_1 |q_1|^2 e_5 + e_2 |q_2|^2 (e_3 - e_6) + e_3 |q_3|^2 (e_3 + e_5 + e_6) + \\ & + e_3^2 (\operatorname{Re}\{q_6 - q_2 - q_3\} \operatorname{Re}\{q_3\} + \operatorname{Im}\{q_6 - q_2 - q_3\} \operatorname{Im}\{q_3\}) + \\ & + e_4 |q_4|^2 e_5 + e_5^2 (\operatorname{Re}\{q_1 + q_6 - q_3 - q_4\} \operatorname{Re}\{q_5\} + \\ & + \operatorname{Im}\{q_1 + q_6 - q_3 - q_4\} \operatorname{Im}\{q_5\}) - e_6 |q_6|^2 (e_3 + e_5) + \\ & + e_6^2 (\operatorname{Re}\{q_2 + q_6 - q_3\} \operatorname{Re}\{q_6\} + \operatorname{Im}\{q_2 + q_6 - q_3\} \operatorname{Im}\{q_6\}) + \\ & + g_1 g_2 |q_{g_1}|^2 - g_2^2 (\operatorname{Re}\{q_{g_1}\} \operatorname{Re}\{q_{g_2}\} + \operatorname{Im}\{q_{g_1}\} \operatorname{Im}\{q_{g_2}\}), \end{aligned}$$



Rys. 2

$$\begin{aligned} \Psi_3(E_1, Q_1) = & -e_1 |q_1|^2 - e_5 - e_2 |q_2|^2 - e_6 + e_3 |q_3|^2 (e_5 + e_6 - e_3) + \\ & + e_5^2 |q_5|^2 + e_5^2 (\operatorname{Re}\{q_1 - q_3 - q_5\} \operatorname{Re}\{q_5\} + \operatorname{Im}\{q_1 - q_3 - q_5\} \operatorname{Im}\{q_5\}) + \\ & + e_6^2 |q_6|^2 (\operatorname{Re}\{q_2 - q_3 - q_6\} \operatorname{Re}\{q_6\} + \operatorname{Im}\{q_2 - q_3 - q_6\} \operatorname{Im}\{q_6\}) + \\ & + g_2 g_3 (|q_{g_2}|^2 + |q_{g_3}|^2) - g_2^2 |q_{g_2}|^2 - g_3^2 |q_{g_3}|^2, \end{aligned}$$

$$e_i \in \{G_i, C_i, \Gamma_i\} \quad i = 1, 2, \dots, 6.$$

$$q_i \in \{q_{G_i}, q_{C_i}, q_{\Gamma_i}\}$$

### 3. Zadanie programowania liniowego

Z zależności (17), (18), (19) wynika, że minimalizację rozważanych wskaźników jakości można sprowadzić do rozwiązania zadania programowania liniowego (ZPL). Jeśli chcemy, aby zachodziło

$$\hat{\Phi}(x, b) \leq \hat{\Phi}(0) \quad \text{istn} \quad \Theta(x, b) \leq \Theta(0), \quad (20)$$

należy rozwiązać następujące ZPL:

a) przy ograniczeniach:

$$|b_j| \leq 1 \quad j=1,2,\dots,\mu \quad (21a)$$

$$\dot{e}_1(b) \geq 0 \quad \text{jeśli} \quad e_1(x,b) > e_1(0) \quad i=1,2,\dots,p, \quad (21b)$$

$$\dot{e}_1(b) = 0 \quad \text{jeśli} \quad e_1(x,b) = e_1(0) \quad i=1,2,\dots,r, \quad (21c)$$

$$\dot{e}_1(b) \leq 0 \quad \text{jeśli} \quad e_1(x,b) \leq e_1(0) \quad i=1,2,\dots,s, \quad (21d)$$

b) znaleźć niezerowy wektor  $b_0$  taki, że:

$$z_1 = \dot{\Phi}(b_0) = \min\{\dot{\Phi}(b) \leq 0\} \quad (21e)$$

lub

$$z_2 = \dot{\Theta}(b_0) = \min\{\dot{\Theta}(b) \leq 0\}.$$

łatwo zauważyć, że jeśli chcemy, aby

$$\Phi(x,b) \leq \Phi(0) \quad \text{i} \quad \Theta(x,b) \leq \Theta(0) \quad (22)$$

wystarczy zbiór ograniczeń (21) rozszerzyć o jeden z warunków

$$\dot{\Phi}(b) \leq 0 \quad (23a)$$

$$\dot{\Theta}(b) \leq 0 \quad (23b)$$

w zależności od przyjętej funkcji celu ZPL.

Tak sformułowane ZPL pozwala na jednoczesną minimalizację obydwu wskaźników.

Aby zadanie (21) sprowadzić do postaci kanonicznej ZPL [7], konieczne jest wprowadzenie nowych zmiennych:

$$x_i = b_i + i \quad i=1,2,\dots,\mu. \quad (24)$$

Ograniczenia postaci (21b) i (21d) sprowadza się do równości przez odjęcie i dodanie tzw. zmiennych dopełniających  $x_{\mu}$ . W ograniczeniach  $\geq$  i  $\leq$  wprowadza się przez dodanie tzw. zmienne sztuczne  $x_{\mu}$  po to, by w macierzy współczynników  $F_{ij}$  wystąpiła macierz jednostkowa. Pozwala to zastosować metodę sympleksów do rozwiązania ZPL. Zadanie (21) przyjmuje wtedy postać [3]:

a) ograniczenia:

$$x_j + x_{\mu j} = 2 \quad j=1,2,\dots,\mu \quad (25a)$$



$$\sum_{j=1}^{\mu} f_{ij} x_j - x_{s1} + x_{a1} = d_i \quad i=1,2,\dots,p, \quad (25b)$$

$$\sum_{j=1}^{\mu} f_{ij} x_j + x_{s1} = d_i \quad i=1,2,\dots,r, \quad (25c)$$

$$\sum_{j=1}^{\mu} f_{ij} x_j + x_{s1} = d_i \quad i=1,2,\dots,s, \quad (25d)$$

gdzie:

$$d_i = \sum_{j=1}^{\mu} f_{ij} \geq 0,$$

$$x_j > 0,$$

b) funkcja celu:

$$z = \sum_{j=1}^{\mu} h_j x_j + \sum_{j=1}^p x_{sj} + \sum_{j=1}^s x_{aj} + \sum_{j=1}^{p+r} x_{aj}, \quad (25e)$$

gdzie:

$h_j = \psi_j$  jeśli minimalizujemy wskaźnik  $\Theta$ ,

$h_j = \varphi_j$  dla wskaźnika  $\Phi$ .

Dogodną metodą rozwiązania tak zmodyfikowanego ZPL jest metoda dwufazowa Dantzig-Ordeana. Polega ona na zastosowaniu metody sympleksów w dwóch fazach.

Faza I

Minimalizuje się funkcję celu

$$z' = \sum_{j=1}^{p+r} x_{aj}. \quad (26)$$

Jeżeli  $\min z' > 0$ , to zbiór ograniczeń jest sprzeczny, jeżeli natomiast  $\min z' = 0$ , to uzyskane rozwiązanie jest początkowym rozwiązaniem bazowym zadania (25).

## Faza II

Jeżeli faza I została zakończona pomyślnym rezultatem, tj.  $\min z' = 0$ , to poszukuje się minimum funkcji celu

$$z' = \sum_{j=1}^{\mu} h_j x_j + \sum_{j=1}^p x_{e_j} + \sum_{j=1}^s x_{e_j}. \quad (27)$$

Jeżeli liczba ograniczeń typu = jest równa

$$r < \mu - 1 = N(N-n) - 1, \quad (28)$$

to zbiór ograniczeń ZPL nie jest sprzeczny i istnieje możliwość uzyskania jako rozwiązania niezerowego wektora  $b_0$ . Uzyskany w wyniku rozwiązania ZPL obwód równoważny stanowi obwód pierwotny dla drugiego kroku następującej procedury:

- obliczyć wybrany wskaźnik  $w(0)$  obwodu pierwotnego,
- rozwiązać ZPL,
- w oparciu o równanie (7) znaleźć obwód równoważny,
- obliczyć wskaźnik  $w(x, b)$  obwodu równoważnego,
- jeśli uzyskany spadek wartości wskaźnika jest większy od żądanej dokładności poszukiwań powraca się do punktu a), jeśli nie, poszukiwanie obwodu równoważnego zostaje zakończone.

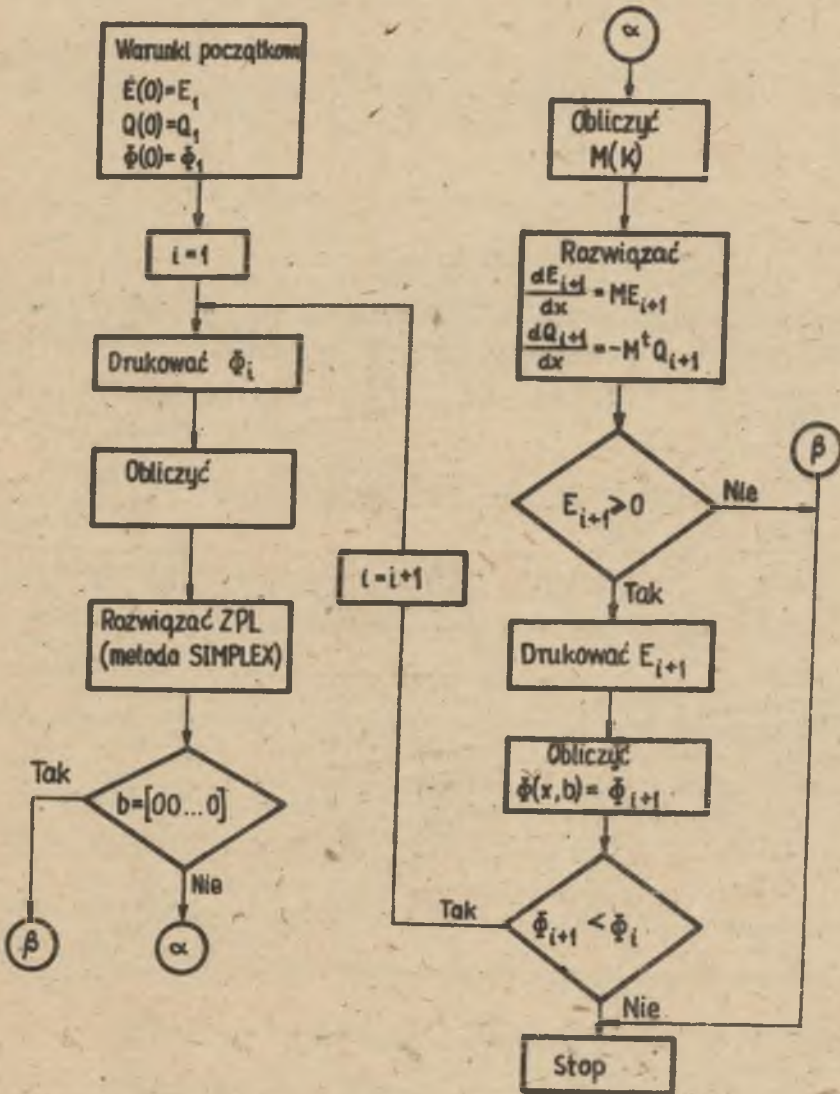
Na rys. 3 przedstawiono uproszczony schemat blokowy maszynowej realizacji tego algorytmu napisanej w języku FORTRAN dla maszyny cyfrowej ODRA 1305 w celu minimalizacji wskaźnika  $\Phi$ . Zależnie od liczby węzłów obwodu i ograniczeń dotyczących obwodu równoważnego występują różne bloki: formułowania ZPL i obliczenia macierzy  $M(K)$ . Blok rozwiązywania ZPL oparte na metodzie M (Big M Method) [8], w której funkcja celu ma postać

$$z' = \sum_{j=1}^{\mu} h_j x_j + M \sum_{j=1}^{p+r} x_{e_j}. \quad (29)$$

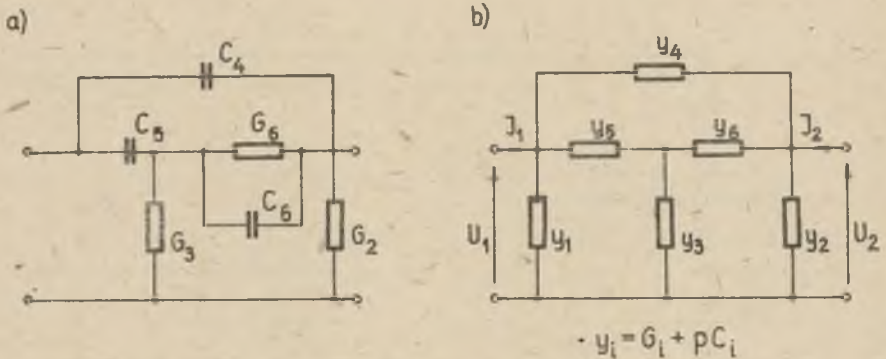
gdzie  $M$  jest liczbą rzeczywistą dostatecznie dużą, by zapewnić, że wartości zmiennych  $x_{e_j}$  są równe zero w punkcie optymalnym. Metoda ta stanowi kombinację faz I i II metody dwufazowej zapewnia w wielu przypadkach krótszy czas rozwiązywania ZPL aniżeli metoda dwufazowa [9].

## 4. Przykład

Należy znaleźć czwórnik (rys. 4b) o transmitancji  $U_2/U_1$ , gdy  $I_2 = 0$ , równej transmitancji danego czwornika RC (rys. 4a), tak aby wartości kon-



Rys. 3



Rys. 4

duktancji oporników układu równoważnego były równe lub zbliżone. Czwórnik równoważny nie powinien zawierać dodatkowych pojemności, a pojemność kondensatora  $C_6$  należy zmniejszyć.

- obwód pierwotny

$$G_2 = 2,0 \text{ S} \quad C_4 = 1,0 \text{ F}$$

$$G_3 = 3,0 \text{ S} \quad C_5 = 2,0 \text{ F}$$

$$G_6 = 5,0 \text{ S} \quad C_6 = 5,0 \text{ F}$$

$$H(p) = \frac{U_2(p)}{U_1(p)} = \frac{p^2 + 1,06p}{p^2 + 2,76p + 1,82}$$

$$\theta(0) = \sum_{i=1}^6 (G_i - G_0) = 4,666; \quad G_0 = \frac{1}{6} \sum_{i=1}^6 G_i, \quad G_i \neq 0$$

- warunki sformułowane dla obwodu równoważnego prowadzą do następującego zadania (21)

$$|b_j| \leq 1 \rightarrow \begin{cases} x_1 + x_{a1} = 2 \\ x_2 + x_{a2} = 2 \\ x_3 + x_{a3} = 2 \end{cases}$$

$$\dot{C}_1 = \dot{C}_2 = \dot{C}_3 = 0 \rightarrow x_1 + x_2 + x_3 + x_{a1} = 3$$

$$\dot{C}_6 \leq 0 \rightarrow (C_5 + C_6)x_2 - C_6x_3 - x_{a4} + x_{a2} = C_5$$

$$\dot{G}_4 > 0 \rightarrow G_6x_1 + G_5x_2 - x_{a5} + x_{a3} = G_5 + G_6$$

$$\dot{G}_5 > 0 \rightarrow (G_3 + G_5 + G_6)x_1 - G_5x_2 + x_{a6} = G_3 + G_6$$



$$z = v_1^j x_1 + v_2^j x_2 + v_3^j x_3 + \sum_{i=1}^6 x_{a_i} + \sum_{i=1}^3 x_{s_i}$$

gdzie:

$$v_1^j = v_1^j(E_1); \quad v_2^j = v_2^j(E_1); \quad v_3^j = v_3^j(E_1)$$

- w wyniku zastosowania przedstawionej procedury minimalizacji, otrzymano dowód równoważny o tej samej strukturze co pierwotny. W tabeli zestawiono wartości parametrów elementów oraz wskaźnik.

Liczba iteracji	$C_4$	$C_5$	$C_6$	$G_2$	$G_3$	$G_6$	$\theta_{\min}$
18	1,329	1,670	3,213	2,494	2,505	3,075	0,221
29	1,503	1,496	2,422	2,755	2,244	2,234	0,177

Obliczenia trwały ok. 3 min (przy poziomie śledzenia programu wynikowego określonym instrukcją TRACE 2).

#### LITERATURA

- [1] CAUER W.: Vierpole, Elek. Nachr. Tech., July 1929.
- [2] HOWITT N.: Group theory and the electric circuit, Phys. Rev., vol.37, 1931.
- [3] GARCZARCYK Z.: Optymalizacja statyczna wybranych parametrów równoważnych n-wrotników RLCZ. Praca doktorska, Politechnika Śląska, 1978.
- [4] SCHOEFFLER J.D.: The synthesis of minimum sensitivity networks, IEEE Trans. on Circuit Theory, June 1964.
- [5] GARCZARCYK Z.: Minimalizacja zmian modułu funkcji obwodu, VIII Sympozjum Metody Matematyczne w Elektrotechnice, Pokrzywna, 1979.
- [6] HOLT A.G., LEE M.R.: A relationship between sensitivity and noise, Int. J. Electronics, no 6, 1969.
- [7] GASS S.I.: Programowanie liniowe, PWN, Warszawa 1976.
- [8] KUO S.S.: Computer applications of numerical methods, Addison-Wesley, Reading, Mass, 1972.
- [9] GARVIN W.W.: Introduction to linear programming, Mc. Graw-Hill, New York 1960.

Wpłynęło do Redakcji w maju 1980 r.

Recenzent:

-Doc. dr Stanisław Bolkowski

МИНИМИЗАЦИЯ ЧУВСТВИТЕЛЬНОСТИ И РАЗБРОСА ЗНАЧЕНИЙ  
ПАРАМЕТРОВ ЭЛЕМЕНТОВ ЦЕПЕЙ

Р е з ю м е

В статье представлен алгоритм, исходя из концепции непрерывной эквивалентной схемы и линейного программирования, позволяющий одновременно минимизирует коэффициент чувствительности и разброса значений параметров элементов цепи.

MINIMIZATION OF SENSITIVITY AND CIRCUIT ELEMENTS SPREADING

S u m m a r y

An algorithm based on the theory of continuously equivalent circuits and linear programming is presented in this paper. The algorithm allows for simultaneous minimization of sensitivity and circuit elements spreading indices.